

## پالینواستراتیگرفی و پالئوژئوگرافی سازندهای لشکرک و قلی واقع در ناحیه ابرسج، شمال غرب شهرود

محمد قویدل سیوکی<sup>\*</sup>، استاد انسٹیتوی مهندسی نفت، دانشگاه تهران\*

مریم خندابی، کارشناس ارشد دانشگاه پیام نور شیراز

### چکیده

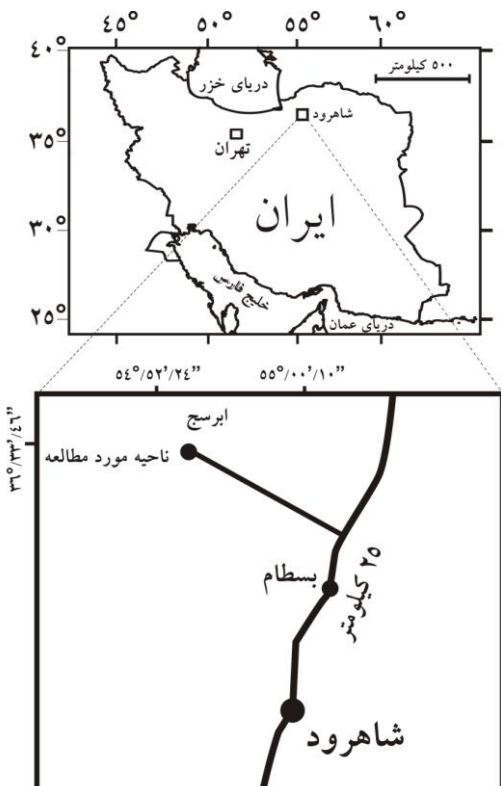
تعداد ۱۰۲ نمونه از رسوبات اردوبیسین (سازندهای لشکرک و قلی) ناحیه ابرسج واقع در ۲۵ کیلومتری شمال غرب شهرود جهت بررسی پالینولوژیکی و تعیین سن سکانس رسوبی اردوبیسین انتخاب شد. ضخامت رسوبات مورد مطالعه ۶۷۹ متر اندازه گیری شد که از این ضخامت ۲۳۴ متر آن را سازند لشکرک و ۴۴۵ متر بقیه آن را سازند قلی تشکیل می‌دهد. در این مطالعه ۶۵ گونه پالینومورف شناسایی گردید که از میان آنها ۵۶ گونه آکریتارش (۲۵ جنس) و ۲ گونه کیتینوزوا (۲ جنس) می‌باشد. بر اساس ظهور و انقراض گونه‌های پالینومورف، ۱۱ بایوزون تجمعی در رسوبات اردوبیسین ایجاد گردید. بایوزون‌های I تا VII در سازند لشکرک وجود دارند و زمان اردوبیسین پیشین (Tremadocian-) Floian را برای این سازند پیشنهاد می‌کند. بایوزون‌های VIII تا XI در سازند قلی گسترش دارند و سن اردوبیسین میانی و پسین (Darriwilian-Katian) را برای این بخش از ضخامت رسوبات ناحیه مورد مطالعه پیشنهاد می‌کند. بر اساس وجود گونه‌های مختلف کیتینوزوا و آکریتارش‌ها و محاسبه ضریب نسبت عناصر خشکی به عناصر دریائی ( $K = C.E./M.E.$ ) این دو سازند در محیط دریائی کم عمق ته نشین شده اند که در مقایسه با مدل‌های رخساره‌ای پالینولوژی با رخساره‌های ۱ و ۳ مدل استاپلین همخوانی دارد. جنس‌ها و گونه‌های پالینومورف ناحیه مورد مطالعه با نمونه‌های هم‌زمان آن از سایر کشورهای جهان مقایسه گردید. این مقایسه شباهت زیاد پالینومورف‌های ناحیه مورد مطالعه را با اقلیم دیرینه پری گندوانا یا مدیترانه (peri-Gondwanan palaeoprovince , or Mediterranean palaeoprovince) نشان می‌دهد. رنگ پالینومورف‌ها خاکستری تا تیره است که معرف دگرگونی خفیف تا متوسط رسوبات اردوبیسین در ناحیه مورد مطالعه بوده و احتمالاً با دگرگونی شیسته‌های گرگان در زمان بسته شدن اقیانوس پالئوتیس در اواخر تریاس مطابقت دارد.

واژه‌های کلیدی: پالینواستراتیگرفی، پالئوژئوگرافی، آکریتارش‌ها، کیتینوزوا، رسوبات اردوبیسین

## مقدمه

مورد مطالعه با استفاده از جاده فرعی که از محور اصلی آزادشهر- شهرود منشعب می‌شود، امکان‌پذیر است (شکل ۱).

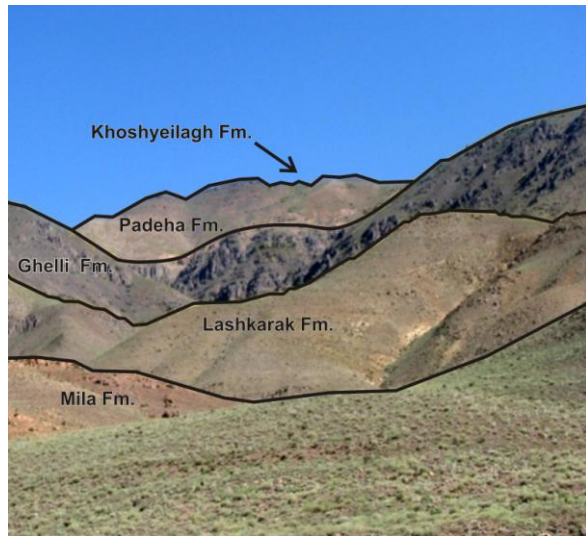
برش چینه شناسی ناحیه مورد مطالعه در نزدیکی روستای ابرسج، در ۲۵ کیلومتری شمال غرب شهرود با مختصات جغرافیایی طول  $54^{\circ}52'24''$  و عرض  $36^{\circ}33'46''$  قرار دارد. دسترسی به ناحیه



شکل ۱- نقشه راه‌های دسترسی ناحیه ابرسج

وجود دارد. این سازند به صورت هم‌شیب روی سازند میلا و زیر سازند قلی قرار می‌گیرد. در این ناحیه ضخامت رسوبات اردویسین میانی و پسین (سازند قلی) ۴۴۵ متر می‌باشد که از نظر لیتوژوئی از پائین به بالا شامل ۱۹۲ متر شیل سیلتی سیاهرنگ، ۱۱۱ متر سنگ آذرین نفوذی، ۱۴۲ متر ماسهسنگ سفید و شیل سیلتی زیتونی تا خاکستری رنگ می‌باشد. این سازند دارای کنتاكت تدریجی با سازند لشکرک است، اما کنتاكت آن با سازند سلطان میدان به حالت ناپیوستگی فرسایشی (شکل ۲) است.

ضخامت رسوبات اردویسین در ناحیه مورد مطالعه ۶۷۹ متر می‌باشد که از این ضخامت ۲۳۴ متر مربوط به سازند لشکرک است. این سازند از پایین به بالا شامل ۵۰ متر آهک و دولومیت، ۱۰۷ متر ماسهسنگ سفید ریزدانه با میانلایه‌های شیل زیتونی تا خاکستری رنگ، ۵۳ متر واریزه‌های غیرقابل برداشت، ۸ متر شیل تیره رنگ و ۱۶ متر سیلتستون تشکیل شده است (شکل ۳). در لایه‌های آهکی سازند لشکرک شواهدی از چینه‌بندی متقطع و برآکیوپود، تریلوبیت و نیز ایتراکلاست و گلوکونیت



شکل ۲- نمایش همیری سازندهای لشکرک، قلی و پادها در ناحیه ابرسج.

*Acanthodiacroodium rectinerve,*  
*Acanthodiacroodium zonaconstrictum,*  
*Acanthodiacroodium complanatum,*  
*Athabascaella penika,* *Cymatiogalea curtinulum,* *Cymatiogalea cuvillieri,* *Leiofusa fusiformis,* *Vulcanisphaera* sp.,  
*Vulcanisphaera africana,* *Vulcanisphaera britanica*

مشخص می شود. تاکنون گونه های آکریتارش این بایوزون از رسوبات اردویسین پیشین (ترمادوسین) کشورهای فرانسه (Cramer 1964)، اسپانیا (Rauscher 1974) نروژ (Welsch 1986)، روسیه (Umnova 1975)، سوئد (Bagnoli, et al. 1988)، آفریقای شمالی (Combaz 1967; Deunff 1964; Vecoli 1999)، عربستان (Vavrdova 1974)، اروپا (Jachowicz 1995)، سعودی (Ghavidel-Syooki 1990, 1993, 1995, 1996, 1997, 2000, 2001, 2003) حوضه های رسوبی ایران (Ottone & Toro 1992) (Vavrdova 1974; Servias, 1997; Burmann 1968; Eisenack 1934; 1938)، چین (Lu 1987; Martin & Yin 1988; Tongiorgi et al. 1967; Combaz et al. 1974; Jardine et al. 1974; Rasul 1974; Vavrdova 1974; Deunff 1966)، روسیه (Timofeev 1959)، الجزیره (1995)، انگلستان (Vavrdova 1974; Deunff 1966)

- **بایواستراتیگرافی:** به منظور تعیین سن رسوبات اردویسین ناحیه ابرسج (سازندهای لشکرک و قلی) تعداد ۱۰۲ نمونه انتخاب و در آزمایشگاه دانشگاه پیام نور شیراز تجزیه شیمیائی شده و مورد مطالعه قرار گرفت. اغلب نمونه ها حاوی پالینومورف فراوان از جمله میکروفیتوپلانکتون های دریایی (آکریتارش ها) و کیتینوزواها است. در این مطالعه ۵۶ گونه آکریتارش (۲۵ جنس) و ۲ گونه کیتینوزوا (۲ جنس) شناسایی شدند که در ۱۱ بیوزون تجمعی تنظیم شده اند که در زیر به شرح هر یک از آنها می پردازیم.

\* **بایوزون ۱:** این بایوزون ضخامت ۴ متر از بخش پایینی سازند لشکرک را در بر می گیرد. از نظر لیتولوژی این ضخامت از سازند لشکرک تناوبی از لایه های دولومیت همراه با میان لایه های شیلی (MKH-MG 1-3) تشکیل شده است. این بایوزون با ظهور گونه های آکریتارش از جمله

*Acanthodiacroodium* sp., *Acanthodiacroodium simplex,* *Acanthodiacroodium spinum,* *Acanthodiacroodium vavrdovae,*

ضخامت با ظهور گونه‌های آکریتارش از قبیل

*Acanthodiacrodium unigerminum, Cymatiogalea cylindrata, Cymatiogalea cristata, Arbusculidium filamentosum, Goniosphaeridium dentatum, Priscotheca raia, Saharidia fragilis, Frankea sp.*

مشخص می‌شود و تاکنون از رسوبات اردویسین پیشین کشورهای الجزایر (Combaz 1967; Combaz et al. 1974; Jardiné et al. 1974; Deunff 1966 Ghavidel- Syooki 1990)، ایران (Rauscher 1974)، فرانسه (Jachowicz 1995)، عربستان سعودی (Welsch 1986) و انگلستان (Rasul & Downie 1974; 1976; 1988) (Li 1986; Martin & Yin 1991)، چین (Reitz 1986)، آلمان (Martin 1984)، روسیه (Reitz 1991)، چینه‌شناسی گونه‌های ذکر شده سن اردویسین پیشین (آرنیگین) برای این ضخامت از سازند لشکرک پیشنهاد می‌شود.

\*بايوzon IV: اين بايوzon در ضخامت 65 متری از سازند لشکرک گسترش دارد. ليتلوزی اين ضخامت از لايه‌های ماسه‌سنگ همراه با ميان لايه‌های شيل (MKH-MG 33-39) تشکيل شده است. اين بايوzon با ظهور گونه‌های آکریتارش از قبیل

*Acanthodiacrodium constrictum, Stelliferidium cortinulum, Acanthodiacrodium seratimum, Acanthodiacrodium tassellii, Arbusculidium sp., Dactylofusa spinata, Goniosphaeridium sufflatum, Goniosphaeridium uncinatum, Priscotheca tumida*

مشخص می‌شود. گونه‌های مذکور تاکنون از رسوبات اردویسین پیشین کشورهای اسپانیا (Servais & Mette 2000)، عربستان (McClure 1988; Jachowicz 1995)، ترکیه (Paris et al. 2007)، فرانسه (Jardine et al. 1974; Deunff 1966; Combaz 1967)، ایران (Rasul 1974; Downie 1984) و ایران (Ghavidel-Syooki 1996, 2003, 2006)، روسیه (Welsch 1986)، جنوب اروپا (Timofeev 1959) (Vavrdova 1974; Rauscher 1974، Burmann 1968 ،

Downie 1984 ;Connery and Higgs 1999)، غرب آلمان (Loeblich & Tappan 1978)، کانادا (Burmann 1970)

آلمان (Reitz 1991; Servais & Molyneux 1997)، اردن (Keegan et al. 1990) گزارش شده است. با توجه به ارزش چینه‌شناسی گونه‌های مذکور سن اردویسین پیشین (ترمادویسین) برای این بخش از رسوبات پیشنهاد می‌شود.

\*بايوzon II: اين بايوzon در ضخامت 62 متری از سازند لشکرک گسترش دارد. از نظر سنگ شناسی اين ضخامت از تناوب لایه‌های دولومیت و ماسه‌سنگ با ميان لايه‌های شيل (MKH-MG 4-24) تشکيل شده است. اين بايوzon با ظهور گونه‌های آکریتارش از قبیل

*Acanthodiacrodium raia, Acanthodiacrodium tadlense, Cymatiogalea membranispina, Michrystridium shinetimes, Athabascaella playfordii*

مشخص می‌شود. تاکنون اين گونه‌های آکریتارش از رسوبات اردویسین پیشین کشورهای انگلستان (Rauscher 1974)، فرانسه (Rasul 1979; Downie 1984)، آلمان (Reitz 1991; Servais & Molyneux 1997)، سوئد (Bagnoli 1986)، عربستان (Welsch 1986)، ایران (Keegan et al. 1990)، اردن (Martin 1984)، کانادا (Ghavidel- Syooki 2000; 1996)، چین (Tongiorgi et al. 1995 ; Martin & Yin 1988)، اروپا (Jachowicz 1974)، عربستان سعودی (Vavrdova 1974)، آفریقای شمالی (Martin & Yin 1988)، گزارش شده است. با توجه به ارزش چینه‌شناسی گونه‌های فوق، زمان اردویسین پیشین (ترمادویسین پیشین) برای این ضخامت از رسوبات سازند لشکرک پیشنهاد می‌شود.

\*بايوzon III: اين بايوzon ضخامت 32 متری از سازند لشکرک را در بر می‌گيرد که از تناوب لایه‌های ماسه‌سنگ همراه با ميان لايه‌های شيل (MKH-MG 25-31) تشکيل شده است. اين

پیشین آغاز و در اردیسین پسین ادامه پیدا می کند.  
\*بایوزون VI: این بایوزون در ضخامت ۳۵ متری از سازند لشکرک گسترش دارد. این ضخامت از تنابواب لایه های ماسه سنگ به همراه میان لایه های شیل (MKH-MG 43-46) تشکیل شده است. این بایوزون با ظهر گونه های آکریتارش از قبیل

Pirea lavigata, Cymatiogalea granulata مشخص می شود. این گونه ها تاکنون از رسوبات اردیسین پیشین جنوب اروپا (Vavrdova 1974; Rauscher 1974; Burmann 1968; Downie 1984) (Lu 1987; Martin & Jardine et al. 1974)، چین (Dean et al. 2007)، اسپانیا (Rubinstein 2011)، انگلستان (Jachowicz 1974)، عربستان سعودی (Ghavidel-Syooki 1990, 1996, 2000، 1995 و ایران 2006)، گزارش شده است. با توجه به ارزش چینه شناسی گونه های این بایوزون سن آرنسکین پسین برای این ضخامت از سازند لشکرک پیشنهاد می شود.

\*بایوزون VII: این بایوزون در ضخامت ۱۶ متری از سازند لشکرک گسترش دارد. لیتوژری این ضخامت تنابوبی از لایه های ماسه سنگ و شیلهای سیلتی است. این بایوزون با ظهر گونه های آکریتارشی از قبیل

*Veryhachium* و *Multiplicisphaeridium* sp. مشخص می شود. این گونه تاکنون از اردیسین پیشین سایر نقاط جهان از جمله رسوبات اروپا (Vavrdova 1974)، عربستان سعودی (Jachowicz 1974)، فرانسه (Rauscher 1974)، الجزایر (Jardiné et al. 1995)، انگلستان (Downie 1984) و ایران (Ghavidel-syooki 1990) گزارش شده است. با توجه به ارزش چینه شناسی گونه های ذکر شده زمان اردیسین پیشین (واخر آرنسکین) برای این ضخامت از سازند لشکرک پیشنهاد می شود. لازم به یاد آوری است که گونه آکریتارش *Ooidium* sp. همراه با گونه Actinotodissus crassus انتشار چینه شناسی از اردیسین

(Downie 1984) جنوب و شرق چین (Lu 1987; Martin & Yin 1988; Tongiorgi et al. 1995; Li 1987) آرژانتین (Ottone & Toro 1992) آمریکا (Loeblich 1970; Tappan & Loeblich 1971, 1978؛ انگلستان (Turner 1984, 1985)، Gorka 1987) سوئد (Keegan et al. 1990)، اردن (Kjellström 1971) (Elaouad Debbag 1988)، شمال آفریقا (Molyneux et al. 1990) گزارش شده است. با توجه به ارزش چینه شناسی گونه های فوق، زمان اردیسین پیشین (آرنگین) برای این ضخامت از رسوبات سازند لشکرک پیشنهاد می شود.

\*بایوزون VIII: این بایوزون در ضخامت ۲۰ متری از سازند لشکرک گسترش دارد. این ضخامت از لایه های شیل (MKH-MG 40-42) تشکیل شده است. این ضخامت با ظهر گونه های آکریتارش از قبیل *Actinotodissus crassus* مشخص می شود. تاکنون گونه *Actinotodissus crassus* از رسوبات اردیسین پسین کشور های انگلستان (Rasul 1979)، فرانسه (Rauscher 1974)، نروژ (Downie 1984)، آلمان (Reitz 1991; Servais & Molyneux 1997)، ایران (Bagnoli, 1988)، سوئد (Keegan et al. 1990) و شمال آفریقا (Jardine et al., 1974; Elaouad Debbag, 1988)، امریکا (Tappan & Loeblich, 1985)، انگلستان (Lobelich 1970)، (Vavrdova 1974)، اروپای مرکزی (Turner 1984, 1985)، ایران (Ghavidel-syooki 1990, 1996, 1997, 2001, 2003)، عربستان سعودی (Jachowicz 2000, 2006, 1993)، گزارش شده است. با توجه به ارزش چینه شناسی گونه های ذکر شده زمان اردیسین پیشین (واخر آرنسکین) برای این ضخامت از سازند لشکرک پیشنهاد می شود. لازم به یاد آوری است که گونه آکریتارش *Ooidium* sp. همراه با گونه *Actinotodissus crassus* انتشار چینه شناسی از اردیسین

پیشنهاد می‌شود.

**VIII:** این بایوزون در ضخامت ۳۲ متری از سازند قلی گسترش دارد. لیتولوژی این ضخامت از شیلهای سیلتی تیره تا خاکستری (MKH-MG 50) تشکیل شده است. این بایوزون با ظهور گونه‌های آکریتارش از جمله *Baltisphaeridium longispinosum*, *Baltisphaeridium sp.*, *Diexallophasis denticulata*, *Multiplicisphaeridium bifurcatum*, *Veryhachium trispinosum*, *Multiplicisphaeridium irregulare*

مشخص می‌شود. این گونه‌ها تاکنون از رسوبات اردویسین پسین (کیتین تا هیرنانتین) کشورهای انگلستان (Molyneux 1988; Rasul, 1976; Turner 1984, 1985; Downie 1984), اروپا (Kjellström 1971, 1985; Jacobson 1985) مرکزی (Ghavidel-syooki 1990) ایران (Vavrdova 1974) و عربستان سعودی (Loeblich & Tappan 1987; Lu, 1965; Gorka, 1987; Fensome et al. 1999) کانادا (Jacobson 1985)، شمال (Kjellstrom 1971)، آفریقا (Jardine et al. 1974; Elaouad Debbag 1988) فرانسه (Jardiné 1974)، الجزایر (Rauscher 1974)، اردن (Molyneux & Paris 1985)، لیبی (Keegan et al. 1990) گزارش شده است. با توجه به ارزش چینه‌شناسی گونه‌های ذکر شده سن دارویلین - هیرنانتین برای این بخش از رسوبات سازند قلی پیشنهاد می‌شود.

**IX:** این بایوزون در ضخامت ۴۶ متری از سازند قلی گسترش دارد. لیتولوژی آن تنابی از شیلهای سیلتی، ماسه‌سنگ همراه با میان لایه‌های سنگ آذرین (سیل) (MKH-MG 51-52) می‌باشد. این بایوزون با ظهور گونه‌های چینه‌شناسی گونه‌های ذکر شده برای این پسین (کیتین - هیرنانتین) پیشنهاد می‌شود.

**XI:** این بایوزون در ضخامت ۲۰۳ متری از سازند قلی گسترش دارد. لیتولوژی آن تنابی از شیلهای سیلتی، ماسه‌سنگ همراه با میان لایه‌های سنگ آذرین (سیل) (MKH-MG 85-102) می‌باشد.

این بایوزون با ظهور گونه‌های آکریتارش از قبیل *Coryphidium bohemicum*, *Veryhachium triangulata*, *Ordovicidium elegantulum*

مشخص می‌شود.

**Baltisphaeridium longispinosum**,  
**Baltisphaeridium sp.**, **Diexallophasis denticulata**, **Multiplicisphaeridium bifurcatum**,  
**Veryhachium trispinosum**,  
**Multiplicisphaeridium irregulare**

مشخص می‌شود. این گونه‌ها تاکنون از رسوبات اردویسین پسین (کیتین تا هیرنانتین) کشورهای انگلستان (Molyneux 1988; Rasul, 1976; Turner 1984, 1985; Downie 1984) مرکزی (Ghavidel-syooki 1990) ایران (Vavrdova 1974) و عربستان سعودی (Loeblich & Tappan 1987; Lu, 1965; Gorka, 1987; Fensome et al. 1999) کانادا (Jacobson 1985)، شمال (Kjellstrom 1971)، آفریقا (Jardine et al. 1974; Elaouad Debbag 1988) فرانسه (Jardiné 1974)، الجزایر (Rauscher 1974)، اردن (Molyneux & Paris 1985)، لیبی (Keegan et al. 1990) گزارش شده است. با توجه به ارزش چینه‌شناسی گونه‌های ذکر شده سن دارویلین - هیرنانتین برای این بخش از رسوبات سازند قلی پیشنهاد می‌شود.

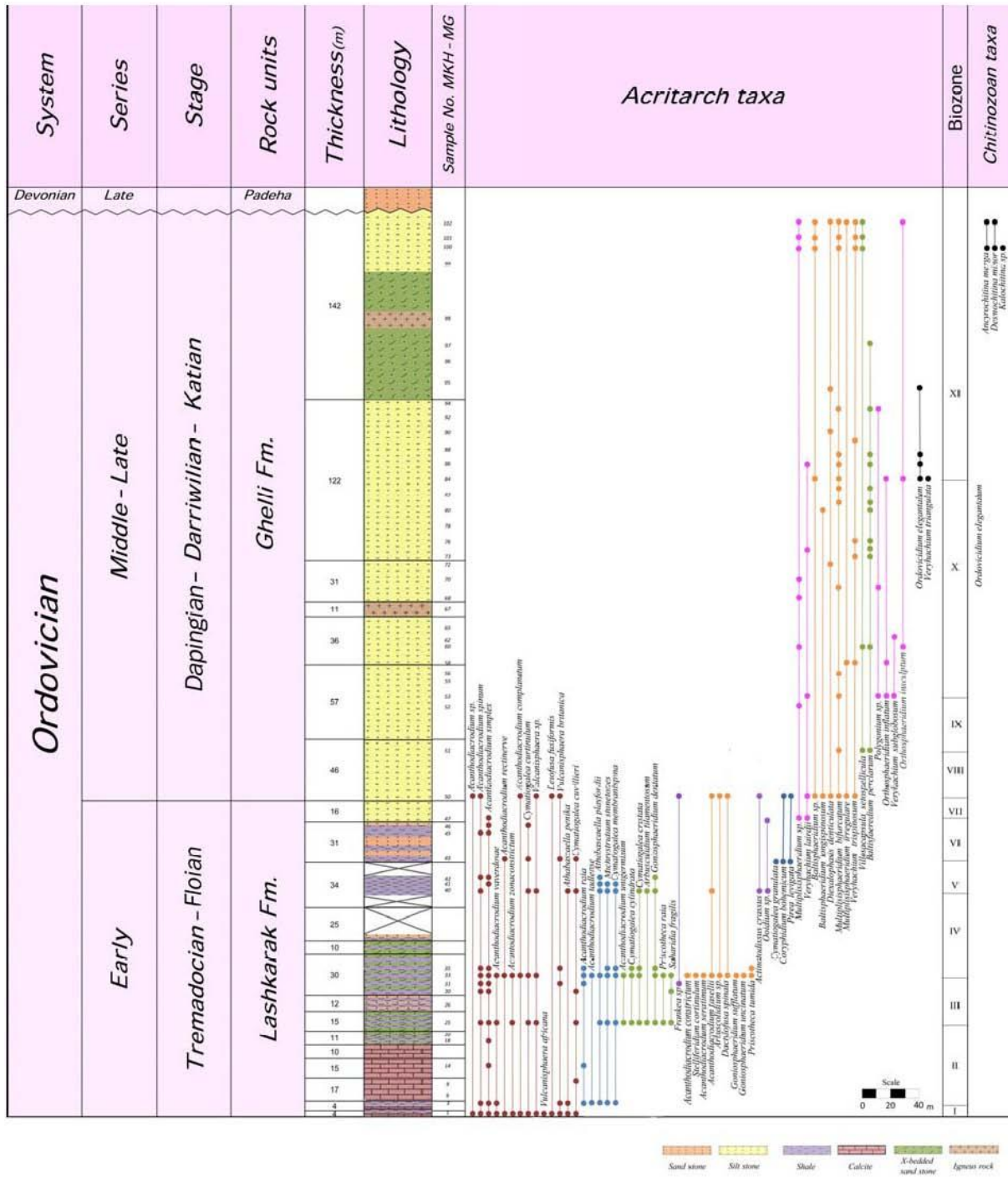
**XII:** این بایوزون در ضخامت ۴۶ متری از سازند قلی گسترش دارد. لیتولوژی این ضخامت از سازند قلی از شیلهای سیلتی (سیز زیتونی تا خاکستری) تشکیل شده است و با ظهور گونه‌های آکریتارش از قبیل *Baltisphaeridium perclarum* و *Villosacapsula setosapellicula*

مشخص می‌شود. این گونه‌ها تاکنون رسوبات اردویسین پسین آمریکا (Loeblich & Tappan 1987; Lu 1965) کانادا

داشته است. اولی اقلیم آکریتارشی پری گند وانا ( مدیترانه ) که شمال آفریقا، جنوب و مرکز اروپا، آمریکای جنوبی، فلوریدا، نیوفوندلند، جنوب غربی چین و خاور میانه را دربر می گرفته است. دومی اقلیم آکریتارشی بالتیک است که کشورهای شمال اروپا و آمریکای شمالی را دربر می گرفته است. بر اساس گونه های شاخص آکریتارش از جمله *Arbusculidium* و *Coryphidium bohemicum* و *filamentosum* و سایر گونه های آکریتارش ناحیه مورد مطالعه در دوره اردوبیسین پیشین و میانی در اقلیم آکریتارشی مدیترانه قرار داشته است و در زمان اردوبیسین پسین در عرض های جغرافیائی بالا با شرایط آب و هوای بسیار سرد قرار داشته است. بدین ترتیب نتیجه این بررسی با تحقیقات پالینولوژیکی محمد قویدل سیوکی در سازند قلی ناحیه حسنکدر ( ۱۹۹۵ )، ناحیه خوش ییلاق ( ۲۰۱۱ ) و شیست های گرگان ( ۲۰۰۸ ) در حوضه البرز و نواحی چالی شه و چاهدارنگ ( ۱۹۹۰ )، سازند سیاهو ( ۲۰۱۱ )، سازند های میان، ایلیک و زردکود ( ۲۰۰۸ ) در حوضه زاگرس و سازند های شیرگشت و قلی در کوه بوقو واقع در ایران مرکزی ( ۲۰۰۳ ) همخوانی دارد. بدین معنی که ناحیه ابرسج در دوره اردوبیسین جزء ابرقاره گندوانا بوده است.

مشخص می شود که با گونه کیتینوزوآ از قبیل *Ancyrochitina merga* و *Desmochitina minor* همراه می باشد. این پالینومorf ها تاکنون از رسوبات ( Loeblich & Tappan 1971, 1978; Górká 1987; Grahn & Bergström 1984 ) سوئد ( Kjellström 1971; Vandenbroucke 2004 ) انگلستان ( Doring 1981; Downie 1984; Turner 1984 ) شمال آفریقا ( Elaouad-Debbaj 1988 ) ایران ( Ghavidel Syooki & Winchester-seeto 2002; Ghavidel-Syooki et al. 2011; Ghavidel Syooki 1996, 2000, 2006 ) جنوب اروپا ( Vavrdova 1974 )، عربستان ( Jachowicz 1995; Al-Hajri 1995 ) و اردن ( Turnau & Racki 1990 ) لهستان ( Keegan et al. 1999 ) بلژیک ( Vanmeirhaeghe & Verniers 2004; 1999 ) Vanmeirhaeghe 2006; Van Grootel et al. 2002 ) کانادا ( Achab & Asselin 1995; Soufiane & Achab 1986, 2000 ) استونی ( Paris et al. 2010 )، عمان ( Grahn 1984 )، ارژانتین ( Rubinstein 2009 )، ترکیه ( Paris et al. 2007 ) آرژانتین ( 2009 ) گزارش شده است. با توجه به ارزش چینه شناسی گونه های ذکر شده بویژه گونه کیتینوزوآی *Ancyrochitina merga* برای این ضخامت از سازند قلی زمان اردوبیسین پسین ( کیتین پسین ) پیشنهاد می شود.

**پالئوژئوگرافی:** بر اساس تحقیقات انجام شده ( Vavrdova 1974; Servias 1997; Servais et al. 2003 ) در دوره اردوبیسین دو اقلیم آکریتارشی وجود



شکل ۳- انتشار چینه شناسی پالینومرف‌ها در سکانس رسوبی پالئوزوئیک زیرین در ناحیه ابرسج

دارای سن اردویسین میانی و پسین (داپینگین-کیتین) است و ناحیه مورد مطالعه جزء اقلیم پری گندوانا بوده است. با توجه به نسبت عناصر خشکی

**نتایج:** بر اساس داده های به دست آمده از این بررسی پالینولوژیکی، سازند لشکرک دارای سن اردوییین پیشین (ترمادوسین-فلوپین) و سازند قلی

- Burmann, G., 1970, Weiter organische Mikrofossilien aus dem unteren ordovizium: Palaontologische, Abt. E, v. 3, No. 3-4, p. 289-332, pl. 2-19.
- Burmann, G., 1968, Diacrodien aus dem Unteren Ordovizium: Palaont. Abh., 2(4), 635-52.
- Cocchio, A.M., 1982, Donnees nouvelles sur les Acritarches du Tremadoc et de L'Arenig dans le massif de Moutoumet (Corbieres, France): Revue de micropaleontology, v. 25, No.1, p.26-39, bl. 1-2.
- ColbATH, G.k., 1979, Organic-walled microphytoplankton from the Eden Shale (Upper Ordovician), Indiana: U.S.A. Palaeontographica, Abt. B, v.171, no. 1-3, p. 1-38, pl. 1-14.
- Combaz, A., and G., peniguel, 1972, Etude palynostratigraphique de l'Ordovicien dense sondages du Bassin de Canning (Australie Occidentale): Societe nationale des petroles d'Aquitaine, Centre de recherche de pau, Bulletin, v. 6, No. 1, p.121-167, pl. 1-4.
- Combaz, A., F.W., Lange, and Pansart, Les Leiofusidae Eixenck, 1938, Rev. Palaeobot., Palynol., v.1(1-4), p. 291-307.
- Combaz, A., F.W., Lange, and J., Pansart, 1967, Les Leiofuidae Eisenack, 1938: Review of Palaeobotany and Palynology, v.1, p. 291-307, pl. 1-2.
- Cramer, F.H., 1967, Chitinozoans of a composite section of Upper Llandoverian to basal Lower Gedinnian sediments in northern Leon, Spain: Bulletin de la Societe Geologique de la Belgique, v. 75, p.69-129.
- Cramer, F.H., 1964, Microplanktons from three Palaeozoic formations in the province of Leon, NW-Spain: Leidse Geologische Mededelingen, v. 30, p. 253-361.
- Cramer, F.H., W.H., Kanes, M. d. C. R., Diez, and , R. A., Christopher, 1974, Early Ordovician acritarchs from the Tadla Basin of Morocco: Palaeontogr., Abt. B., v. 146, p. 57-64.
- Cramer, F.H., B., Allan, W.H., Kanes, and Diez, C.R., M.del, 1974, Upper Arenigian to lower Llanvirnian

به عناصر دریایی ضرب K برابر صفر است که معرف رسوبگذاری این دو سازند در شرایط دریایی کم عمق (پلاتفرمی) می باشد. رنگ پالینومورف ها خاکستری تا خاکستری تیره است که درجه دگرگونی خفیفی را نشان می دهد که احتمالاً همزمان با دگرگونی شیسته های گرگان در اثر بسته شدن پالئوتیس در زمان تریاس پیشین به وقوع پیوسته است.

#### منابع

- Achab, A., 1984, Chitinozoaires de l'Ordovicien moyen de subsurface de l'Ile Anticosti: Review of Palaeobotany and Palynology, v. 43, p.123-143.
- Bagnoli, G., S., Stouge, and M., Tongiorgi, 1988, Acritarchs and conodonts from the Cambro-Ordovician Furuhall (Kopingskint) section (Oland Sweden): Riv. Ital. Paleont. Strat., v.94(2), p.163-284.
- Baudelot, S., and G., Bessiere, 1977, Donnees palinostratigraphiques sur le paleozoïque inférieur du massif de Moutoument (Hautes corbieres, Aude): Annales de la Societe géologique du nord, v.97, No.1, p.21-24.
- Baudelot, S., J. P., Bouillin, and P., Coiffait, 1981, Decouverte d'Ordovicien inférieur date par Acritarches L'ouest de la petite kabylie (Algérie): conséquences structurales. Comptes rendus des séances de l'Academie des Sciences, v.293, p.611-614.
- Bagnoli, G., S., Stouge and M., Tongiorgi, 1988, Acritarchs and conodont from the Cambro-Ordovician Furuhall (Kopingskint) section, Oland Sweden: Rev. Ital. Palaeontol. Strat, v.94(2), p. 163-248.
- Begu, D., 1972, Zonare si corelare a paleozoicului din platorma moesica pe baza asociatiilor palino-protistologice.1. Petrol si gaza, v.23, No.12, p.714-722.
- Brocke, R., O., Fatka and Th., Servais, 1998, A review of the Ordovician acritarchs Aureotesta and Marrocanium: Ann. Soc.Geo. Belgique, v. 120 (1), p. 1-21.

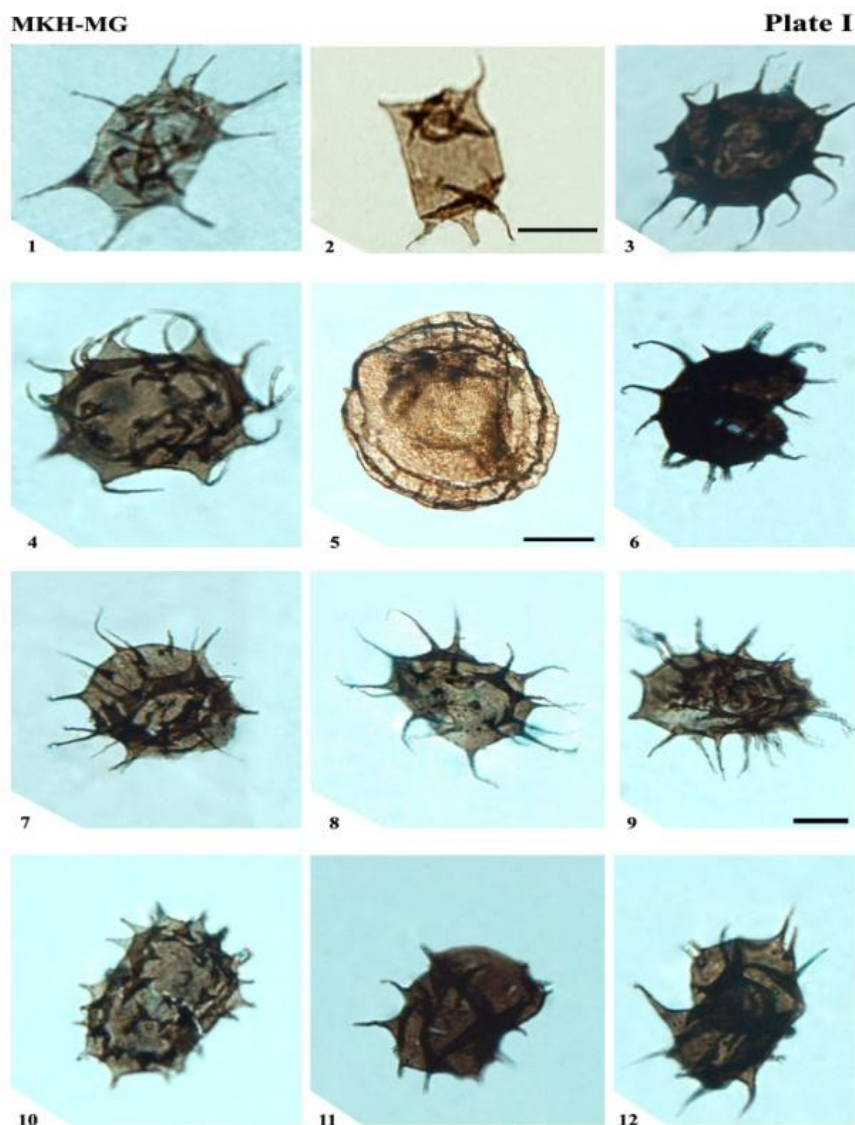
- Llanvirnien de l'Anti-Atlas (Zagora-Mrioc). Otes, Service géologique du Maroc, v.38, No.268, p.141-151, pl.1-2.
- Deunff, J., and D., Massa, 1975, Palinologie et Stratigraphie du Cambro-Ordovicien (Libye nprd-occidentale): Comptes rendus des séances de l'Academie des sciences, ser. D, v.281, P.21-24, pl.1.1.
- Delaloye, M., J.Jenny, and G., Stampfli, 1981, K-Ar dating in the eastern Elburz (Iran): Tectonophysics, v.79, p.T27-T36.
- Downie, C., 1958, An assemblage of microplancton from the Shineton Shale (Tremadocian): Proceedings of the Yorkshire Geological Society, v.31, No.12, p.331-349, pl.16-17.
- Downie, C., 1984, Acritarchs in British stratigraphy. Geol. Soc.London, Spec. Rep., No.17, 1-26.
- Downie, C., and W.A.S., Sarjeant, 1963, On the interpretation and status of some hystrichosphere genera: Palaeontology, v.6, No.1, p.83-96.
- Downie, C., and W. A. S., Sarjeant, 1965, Bibliography and index of fossil dinoflagellates and acritarchs: Geological Society of America, Memoir, v. 94, p.1-180.
- Dufka, P., and O., Fatka, 1993, Chitinozoans and acritarchs from the Ordovician-Silurian boundary of the Prague Basin. Czech republic: Special Papers in Palaeontology, v. 48, p. 7-28.
- Elaouad-Debbaj, Z., 1988, Acritarchs from the Upper Ordovician (Caradoc-Ashgill) of the Anti-Atlas, Morocco: Rev. Micropaleont., v.30(4), p. 32-248.
- Evitt, W.R., 1963, A discussion and concerning fossil Dinoflagellates, hystrichospheres, and acritarchs: Proceedings of the National Academy of Sciences of the United States of America, v.49, P.158-164.
- Fensome, R.A., G.L., Williams, M.S., Barss, J.M., Freeamn, and J.M., Hill, 1990, Acritarchs and fossile prasinophytes: an index to genera, species and infraspecific taxa: American Association of Stratigraphic Palynologists Contributionss Series v.25, 771p.
- Gansser, a., and H., Huber, 1962, Geological acritarchs from the subsurface of the Tadla Basin in Morocco: Palaeontographica, Abt. B.V. 145, No.5-6, p.182-190, pl.27-28.
- Cramer, F.H., and M. d. C. R., Diez, 1972, Late Arenigian (Ordovician) acritarchs from Cis-Saharan Morocco. Micropaleontol., v.23(3), p. 339-360.
- Deflandre. G., 1946, Fichier micropaleontologique serie 8. Hystrichosphaerides III. Espèces du Primaire: Archives scientifique, France, No. 257, p.I-V, fiches. 1096-1185.
- Deflandre. G., and Deflandre - Rigaud, M., 1962, Nomenclature et systematique des Hystrichosphères (Sens.lat.), observations et rectifications: Revue de micropaleontology, v.4, p.190-196.
- Deunff, J., 1951, Sur la présence de Microorganismes (Hystrichosphères) dans les schistes Ordoviens du Finistère: Comptes rendus des séances de l'Academie des sciences, v. 233, No.4, p.321-323.
- Deunff, J., Gorka, H., and Rauscher, R., 1984, Observations nouve et précisions sur Les Acritarches à Large ouverture polaire du Paléozoïque inférieur: Geobios., v. 7, p. 5-18.
- Deunff, J., 1951, Veryhachium, genre nouveau d'Hystrichosphères du Primaire: Compte rendu Sommaire des séances de La Société géologique de France, No.13, p.305-308.
- Deunff, J., 1959, Microorganismes planctoniques du primaire Armorican. I. Ordovicien du Veryhac'h (presqu'île de cro zone): Bulletin de la Société géologique et minéralogique de Bretagne, nouvelle ser., No.2, p.1-41, pl.-1-11.
- Deunff, J., 1961, Un microplancton à Hystrichosphères dans le Tremadoc du Sahara: Revue de micropaleontology, v.4, No.1, p.37-52, pl.1-3.
- Deunff, J., 1964, Systematique de microplancton fossile à Acritarches: revision de deux genres de l'Ordovicien inférieur: Revue de micropaleontology, v.7, No.2, p.199-124, pl.1.1.
- Deunff, J., 1977, Un microplancton à Acritarches dans les schistes

- International palynological Congress, Houston, Texas, U.S.A., 1996: American Association of Stratigraphic Palynologists Foundation, p.17-35
- Ghavidel-Syooki, M., and T., Winchester, 2001, Biostratigraphy and palaeogeography of Late Ordovician chitinozoans from the northeastern Alborz Range, Iran: Rev. Palaeobot., Palynol., v.118, p. 77-99.
- Ghavidel-Syooki, M., 2003, Palynostratigraphy and Paleogeography of lower Paleozoic strata at Kuh-e-Boghou, southwestern of Kashmar city, at eastern central Iran: Iranian International Journal of Sciences, v.4, p.181-207.
- Ghavidel-Syooki, M., 2006, Palynostratigraphy and Paleogeography of the Cambro-Ordovician strata in southwest of Shahrud city (Kuh-e-Kharbash, near Deh-Molla), Central Alborz Range, northern Iran: Review of Palaeobotany and Palynology, v.139, p.81-95.
- Ghavidel-Syooki, M., M., Vecoli, 2008, Palynostratigraphy of Middle Cambrian to Lowermost Ordovician strata sequences in Zagros Mountains, southern: Regional stratigraphic implications, and palaeobiogeographic significance: Rev. Palaeobot., Palynol., v.150, p. 97-114.
- Ghavidel-Syooki, M., 2008, Palynostratigraphy and Paleogeography of upper Ordovician Gorgan Schists (Southern Caspian Sea), Eastern Alborz Mountain Ranges, Northern Iran: Comunicaciones Geologicas, t, v.95, pp.123-155.
- Gorka, H., 1967, Quelques nouveaux acritarches des siérites du Tremadocien supérieur de la région de Kielce (Montage de Ste. Croix, Pologne): Cahiers de Micropaleontologie, ser. v.1, No. 6.p1-8, pl. 1-2.
- Gorka, H., 1987, Acritarchs et prasinophyceae de l'Ordovicien moyen (Viruen) du sondage de Smedsby Gard. No.1 (Gotland Suede). Rev.Palaeobot. Palynol., v.52(4), p. 257-297.
- Hill, P.J., and S.G., Molyneux, 1988, observations in the Central Elburz. Iran: Schweiz. Min. petr.Mitt, v.42, No.2, 583-630, 41 figs., 2 pls. (1 map).
- Ghavidel-Syooki, M., 1990, The encountered acritarchs and chitinozoans from Mila, Illebyk and Zard-kuh formations in Tang-e-Ilebyk at Zard-Kuh region and their correlation with Palaeozoic sequence of Chal-i-Sheh area in Zagros Basin of Iran. Symposium of Diaparism with special reference to Iran: Geological Survey of Iran, v.1, p. 141-218.
- Ghavidel-Syooki, M., 1993, Palynological study of palaeozoic sediments of the Chal-i-Sheh area, southwestern Iran: Iranian Journal of Science, v.4, p. 32-46.
- Ghavidel-Syooki, M., 1995, Palynobiostratigraphy and Palaeogeography of Palaeozoic sequence in the Hassanakdar area, Central Alborz Range, northern Iran: Rev.Palaeobot., Palynol., v.89(1/2), p. 91-109.
- Ghavidel-Syooki, M., and M.E., Khosravi, 1995, Investigation of Lower Palaeozoic sediments at Tang-e-Zakeen of Kuh-e-Faraghan and introduction of the Seyahou and Sarchahan Formations in Zagros Basin. Geological survey of Iran, Geosciences Scientific Quarterly Journal v.4(14), p. 2-21
- Ghavidel-Syooki, M., 1997, Biostratigraphy of acritarchs in Palaeozoic rock units in the Zagros basin of Iran. In: Fatka, O. and Servais, T. (Eds.).Acritarcha in Praha: Acta Universitatis Carolinae Geologica, v.40(3-4): (for 1996), p. 385-411.
- Ghavidel-Syooki, M., 2000, Palynostatigraphy and Palaeobiogeography of Lower Palaeozoic strata in the Ghelli area, northeastern Alborz Range of Iran (Kopet-Dagh Region): J. Sci. I. R. Iran, v.11, No.4.
- Ghavidel-Syooki, M., 2001, Palynostratigraphy and Paleobiogeography of the lower Paleozoic sequence in the northeastern Alborz Range (Kopet-Dagh Region) of Iran, in: Goodman, .K., and Clarke, R.T.(Eds.), Proceedings of the IX

- Li, J., 1970, Ordovician acritarchs and chitinozoa from the Wenlock and Ludlow Serie of the Ludlow and Millichop area, Shropshire. *Palaeontogr. Soc. (Monogr.)*, v.124(1), p. 1-100.
- Li, J., Wicander, R., K., Yan, and H., Zhu, 2006, An Upper Ordovician Acritarch and Prasinophyte from Dawangou, Xinjiang, northwest China: Biostratigraphic and Paleogeographic implication. *Rev. Palaeobot., Palynol.*, v.139(1-4), p.97-128.
- Loeblich, A.R., Gr., 1970, Morphology, ultrastructure and distribution of Paleozoic acritarchs: Proceedings of the North American Paleontological Convention, Chicago, 1969, part G, p.705-788.
- Loeblich, A.R., Gr., and H., Tappan, 1971, Two new Orthosphaeridium (acritarcha) from the Middle and Upper Ordovician: *Transactions of the American microscopy society*, v.90, p.192-188.
- Loeblich, A.R., Gr., and Tappan, H., 1976, Some new and revised organic-walled phytoplankton microfossil genera. *Journal of Paleontology*, v.50, p. 301-308.
- Loeblich, A.R., Gr., and H., Tappan, 1978, Some Middle and Late Ordovician microplankton from Central North America: *Journal of Paleontology*. v.52, p.1233-1287.
- Martin, F., 1965, Les acritarchs de Sart-Bernard (Ordovicien Belge). *Bulletin de la Societe de geological Belge*, v.74(2), p. 1-21.
- Martin, F., 1975, Acritarches du Cambro-Ordovician due Massif du Barbant Belgique. Institut royal de sciences naturelles de Belgique sciences de la terre, *Bulletin*, v.51(1), p.1-33.
- Martin, F., and L., Yin, 1988, Early Ordovician acritarchs from southern Jilin province, northeast China. *Palaeontology*, v.31, p.109-127.
- Molyneux, S.G., 1988, Late Ordovician acritarchs from Northeast Libya: In El-Arnauti, A.; Owens, B., and Thusu, B. (Eds.), *Subsurface Palynostratigraphy of Northeast Libya*. Garyounis University Publication, Benghazi, p.45-59.
- Palynostratigraphy, palynofacies and provincialism of Late Ordovician-early Silurian acritarchs from north-east Libya. In: EL-Arnauti, a., Owens, B., and Thusu, B., (Eds.)-*Subsurface Palynostratigraphy of northeast Libya*. Garyounis Univ. Publ., 27-43, Benghazi, Libya.
- Hill, P.J., 1974, Stratigraphic palynology of acritarchs from the type area of the Llandovery and the Welsh Borderland. *Ibid*, v.18, p. 11-23.
- Jachowicz, M., 1995, Ordovician Acritarchs from central and northwestern Saudi Arabia. *Rev.Palaeobot. Palynol.* v.89, p.19-25.
- Jacobson, S.R., 1978a, Acritarchs from the Upper Ordovician Clays Ferry formation, Kentucky. U.S.A. *Palynology, numero extraordinario I*, p.293-301, pl.I.
- Jacobson, S.R., and A., Achab, 1985, Acritarch biostratigraphy of Dicellograptus complanatus graptolite zone from the Vaureal Formation (Ashgillian), Anticosti Island, Quebec, Canada. *Palynology*, v. 9, p. 65-198.
- Jardine, S., A., Combaz, L., Magloire, G., Peniguel, and G., Vachy, 1974, Distribution stratigraphique des acritarchs dans le Palaeozoique du Sahara Algerien. *Rev.Palaeobot. Palynol.*, v.18(1/2), p. 99-129.
- Keegan, J.B., S.M., Rasul, and Y., Shaheen, 1990, Palynostratigraphy of Lower Palaeozoic, Cambrian to Silurian sediments of the Hashemite Kingdom of Jordan. *Rev.Palaeobot., Palynol.*, v.66, p.167-180.
- Kushan, b., 1978, Stratigraphy and trilobite Fauna from the Mila formation (Middle Camrian-Tremadocian) of the Alborz Range, Northern Iran; geological Survey of Iran publication, 46.
- Le Herisse, A., and C. R., Gourvenne, 1995, Biogeography of Upper Llandovery and Wenlock acritarchs. *Rev. Palaeobot. Palynol.*, v.89(1/2), p.49-74.
- Li, J., and Y., Wang, 1997, Ordovician Acritarchs from boreholes in the Tarim Basin. *Acta Micropaleont. Sinica*, v.14(2), p.175-190.

- Wrekin, Shropshire, England: Palynology, v.3, p.53-72, pl.1-3.
- Rasul, S. M., and C., Downie, 1974, The Stratigraphic distribution o Tremadoc acritarchs in the Shineton Shale succession, Shropshire, England: Review of Palaeobotany and Palynology, v.18, p.1-9.
- Rasul, S.M., 1976, New species of the genus *Vulcanisphaera* (Acritarcha) from the Tremadocian of England: Micropalaeontology, v. 22, p.479-484
- Reitz, E., 1991, Acritarchs of Early Tremadoc sediments in the Western Frankenwald area, NE Bavaria: N. Jb. Geol. Palont., p. 97-104.
- Richardson, J.B., S.M., Rasul, and T., Al-Ameri, 1981, Acritarchs, miospores and correlation of the Ludlovian-Downtonian and Silurian-Devonian Boundaries: Rev. Paleobot. Paly. No. 1. v. 34, p. 209-224.
- Ribecai, C., and M., Tongiorgi, 1995, Arenig acritarchs from Horns Udde (Öland , Sweden) :a preliminary report. REV. Palaeobot. Palynol. v.86, p. 1-11, 3 text-figs. 3pls. Amsterdam.
- Servais, T., 1993, The Ordovician acritarchs Frankea.Spec. Pap. Palaeont., v. 48, p. 79-95,1. p1, London.
- Servais, T., 1997, The Ordovician Arkonia-Striatotheca acritarch plexus.Rev. Paleobot., Palynol., v.89, p. 4779.
- Servais, T., and O., Fatka, 1997, Recognition of the Trans-European Suture Zone (TESZ) by the palaeobiogeographical distribution pattern of Early to Middle Ordovician acritarchs: Geol. Mag., v.134(5), p. 617-625.
- Servais, T., G., Li, S., Molyneux, and E., Raevskaya, 2003, Ordovician organic walled microphytoplankton (acritarch) distribution: The global cenario:Palaeogeography, Palaeoclimatology and Palaeoecology, v.195, p. 149-172.
- Staplin, F.L., J., Jansoni, and S.A.J., Pocock, 1965, Evaluation of some acritarchous hystrichosphere genera: Neues Jahrbuch Fur Geologie und Palaontologie Abhandlungen, v. 123(2), p.167-201.
- Tappan, H., and A.R., Jr, Loeblich, 1971, Surface sculpture of the wall in Lower Molyneux, S.G., and F., Paris, 1985, Late Ordovician Palynomorphs. In: Thusu B., and Owens B. (Eds.) Palynostratigraphy of North-East Libya. J. Micropaleontology, v.4(1), p.11-26.
- Molyneux, S.G., and A.W.A., Rushton, 1988, The Age of the Watch Hill Grits (Ordovician), English Lake District: Structural and Paleogeographical implications. Transasctions of the Royal Society of Edinburgh: Earth Sciences, v.79, p.43-69.
- Ottone, E. G., B.A., Toro, and B.G., Waisfeld, 1992, Lower Ordovician Palynomorphs from the acoite Formation, northwestern Argentina: Palynology, v.16, p.93-116.
- Paris, F., and S., Al-Hajri, 1995, New chitinozoan species from the Llandover of Saudi Arabia. Revue de Micropaleontologie, v. 38, p.311-328.
- Playford, G., and F., Martin, 1984, Ordovician acritarchs from thr Canning Basin, Western Australia: Alcheringa, v.8, p.187-223.
- Playford, G., and R., Wicander, 2006, Organic walled microphytoplankton of the Sylvan Shale (Richmondian: Upper Ordovician), Arbuckle Mountains.Southern Oklahoma, Verniers, J., Grootel, G. V., Louwye, S., Diependaele, B., 2002.The chitinozoan biostratigraphy of the Silurian of the Ronquieres-Montreux area (Brabant Massif U.S.A. Oklahoma Geological Survey. Bulletin. P.116.148.
- Playford, G., C., Ribecai, and M., Tongiorgi, 1995, Ordovician Acritarch genus *Peteinosphaeridium*, *Liliophsphaeridium* and *Cycloposphphaeridium*: morphology, taxomoy, and biostatigraphy and paleogeographic significance.Bollettino Della Societa Paleontologia Italiana, v.34, p.3-54.
- Rauscher, R., 1974, Les Acritarchs de l'Ordovicien en France. Rev. Palaeobot., Palynol., v.18(1/2), p. 83-97.
- Rasul, S. M., 1974, The Lower Palaeozoic acritarchs Priscogalea and Cymatiogalea: Palaeontology, v.17, No.1, p.41-63, pl.3-7.
- Rasul, S.M., 1979, Acritarch zonation of the Tremadoc Series of the Shineton Shales,

- biostratigraphy of the Silurian of the Ronquieres-Montreux area (Brabant Massif , Belgium): Rev. Palaeobot. Palynol. v.118, p. 287-332.
- Wanmeirhaeghe, J., 2006, Chitinozoan biostratigraphy of the Upper Ordovician of Faulx-les-Tombes (central Condronz Inlier, Belgium: Rev. Palaeobot. Palynol. v.139, p. 171-188.
- Welsch, M., 1986, The acritarchs of the Upper Digermul group, Middle Cambrian-Tremadoc, eastern Finnmark, northern Norway: Palaeontogr.Abt. B., v.148, p.2-43,
- Wicander, R., G., Playford. and E.B., Rabertson, 1999, Stratigraphic and palaeogeographic significance of an Upper Ordovician Acritarch flora from the Maquoketa Shale, northeastern Missouri, U.S.A,: Supplement to Journal of Paleontology, v.73, No.6, Memoirs of the Paleontological Society, No. 51, 38p.
- Wolf, R., 1980, The Lower and Upper boundary of the Ordovician System of selected regions (Celtiberia, eastern Sierra Morena) in Spain.Part I: The Lower Ordovician sequence of Celtiberia: Neues Jahrbuch fur Geologie und Palaontologie, Abhandlungen, v.160, No.1, p.118-137.
- Wright, R.P., and W.C., Meyers, 1981, Organic-walled microplancton in the subsurface Ordovician of Northeastern Kansas: Kansas Geological Survey, Subsurface Geology Series, No.4, p.1-53, pl.1-8.
- Yin-Leiming, Y., 1995, Early Ordovician Acritarchs from Hunjiang region, Hubei, China: Palaeont. Sinica,185, ser. A(12),107-170, 36pls.Beijing
- Palaeozoic acritarchs. Micropaleontology, v.17, p. 385-410.
- Thusu, B., 1973, Acritharchs provenant de l'IIion Shale (Wenlochien), Utica, New York. Rev.Micropaleont. v.16, p.137-146.
- Timofeev, B. V., 1959, The ancient flora of the Baltic Regions and its stratigraphic significance.VNIGRI Leningrad Mem., v.129, p. 1-350(in Russia).
- Turner, R.E., 1984, Acritharchs from the type area of the Ordovician (Caradocian) Series, Shropshire, England: Palaeontographica, Abt.B, 190, No.4-v.6, p. 67-157.
- Uutela, A., and R., Tyni, 1991, Ordovician Acritharchs from the Repla Borehole, Estonia: Geological Survey of Finland, Bulletin 353,153p.
- Vavrdova, M., 1974, Geographical differentiation of Ordovician acritarch assemblage in Europe: Rev. Palaeobot., Palynol., v.18(1/2), P. 171-175.
- Vavrdova, M, 1966, Palaeozoic microplankton from Central Bohemia: Casopis pro Mineralogii Geologii, v.11, p.409-414.
- Vavrdova, M., 1972, Acritharchs from the Klabava Shales (Areing): Vestnik Ustredniho Ustavu Geologickeho, v. 47, p.73-86, pl.1-2.
- Vavrdova, M., 1977, Acritharch from the Sarka Formation (Llanvirnian):Vestnik Ustred ustavu geol., v.52, p. 109-118.
- Vecoli, M., 1999, Cambro-Ordovician Palynostratigraphy (acritarchs and Prasinophyte) of the Hassi-R, Mel area and northern Rhadanes basin, North Africa: Palaeontographica Italica., v.86, p.1-112.
- Verniers, J., G. V., Grootel, S., louwye and B., Diependaele, 2002, The chitinozoan



**Fig. 1.** *Acanthodiacerodium complanatum* (Deunff, 1961), Cocchio, 1982 (sample MKH-MG 33).  
**Fig. 2.** *Acanthodiacerodium raia* (Deunff, 1961), Eisenack, Cramer and Diez, 1979 (sample MKH-MG 33).

**Fig. 3.** *Acanthodiacerodium* sp. (sample MKH-MG 1).

**Fig. 4.** *Acanthodiacerodium zonaconstrictum* (Welsch, 1986) (sample MKH-MG 25).

**Fig. 5.** *Saharidia fragilis* (Downie), Combaz, 1967 (sample MKH-MG 25).

**Fig. 6.** *Acanthodiacerodium* sp. (sample MKH-MG 33)

**Fig. 7.** *Acanthodiacerodium* sp. (sample MKH-MG 25).

**Fig. 8.** *Acanthodiacerodium spinum* Rasul, 1979 (sample MKH-MG 31).

**Fig. 9.** *Acanthodiacerodium spinum* Rasul, 1979 (sample MKH-MG 35).

**Fig. 10.** *Acanthodiacerodium tassellii* Martin, 1969 (sample MKH-MG 40).

**Fig. 11.** *Acanthodiacerodium unigermium* Timofeev, 1959, Deflandre & Deflandre-rigaud, 1962 (sample MKH-MG 25).

**Fig. 12.** *Acanthodiacerodium vavrdovae* Cramer & Diez, 1977 (sample MKH-MG 33).

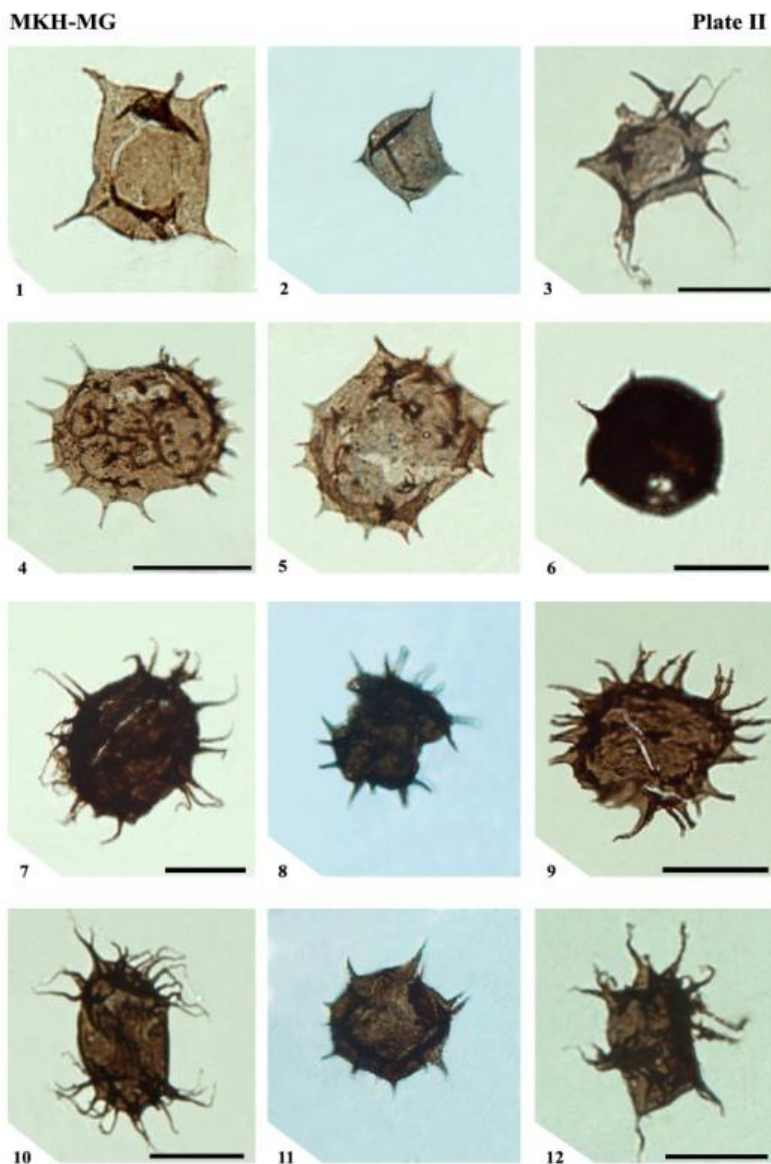


Fig. 1. *Priscotheca raia* Deunff, 1961 (sample MKH-MG 25).

Fig. 2. *Acanthodiacrodiump simplex* Combaz, 1967 (sample MKH-MG 33).

Fig. 3. *Acanthodiacrodiump complanatum* (Deunff, 1961) Cocchio, 1982 (sample MKH-MG 1).

Fig. 4. *Acanthodiacrodiump seratimum* Timofeev, 1959 (sample MKH-MG 33).

Fig. 5. *Acanthodiacrodiump seratimum* Timofeev, 1959 (sample MKH-MG 33).

Fig. 6. *Acanthodiacrodiump simplex* Combaz, 1967 (sample MKH-MG 35).

Fig. 7. *Acanthodiacrodiump tadlense* Cramer and Diez, 1977 (sample MKH-MG 33).

Fig. 8. *Acanthodiacrodiump constrictum* (sample MKH-MG 33).

Fig. 9. *Acanthodiacrodiump rectinerve* Burmann, 1968 (sample MKH-MG 1).

Fig. 10. *Actinotodissus crassus* Loeblich & Tappan, 1978 (sample MKH-MG 47).

Fig. 11. *Acanthodiacrodiump simplex* Combaz, 1967 (sample MKH-MG 33).

Fig. 12. *Actinotodissus crassus* Loeblich & Tappan, 1978 (sample MKH-MG 47).



Fig. 1. *Actinotodissus crassus* Loeblich & Tappan, 1978 (sample MKH-MG 50).

Fig. 2. *Multiplicisphaeridium irregulare* Staplin, Jansonius & Pocock, 1965 (sample MKH-MG 56).

Fig. 3. *Baltisphaeridium longispinosum* Jardine et al. 1974 (sample MKH-MG 80).

Fig. 4. *Baltisphaeridium perclarum* Loeblich & Tappan, 1978 (sample MKH-MG 51).

Fig. 5. *Micrhystridium shinotonense* Downie, 1958 (sample MKH-MG 40).

Fig. 6. *Coryphidium bohemicum* Vavrdova, 1972 (sample MKH-MG 43).

Fig. 7. *Cymatiogalea cuvillier* (Deunff), Cramer & Diez, 1973 (sample MKH-MG 25).

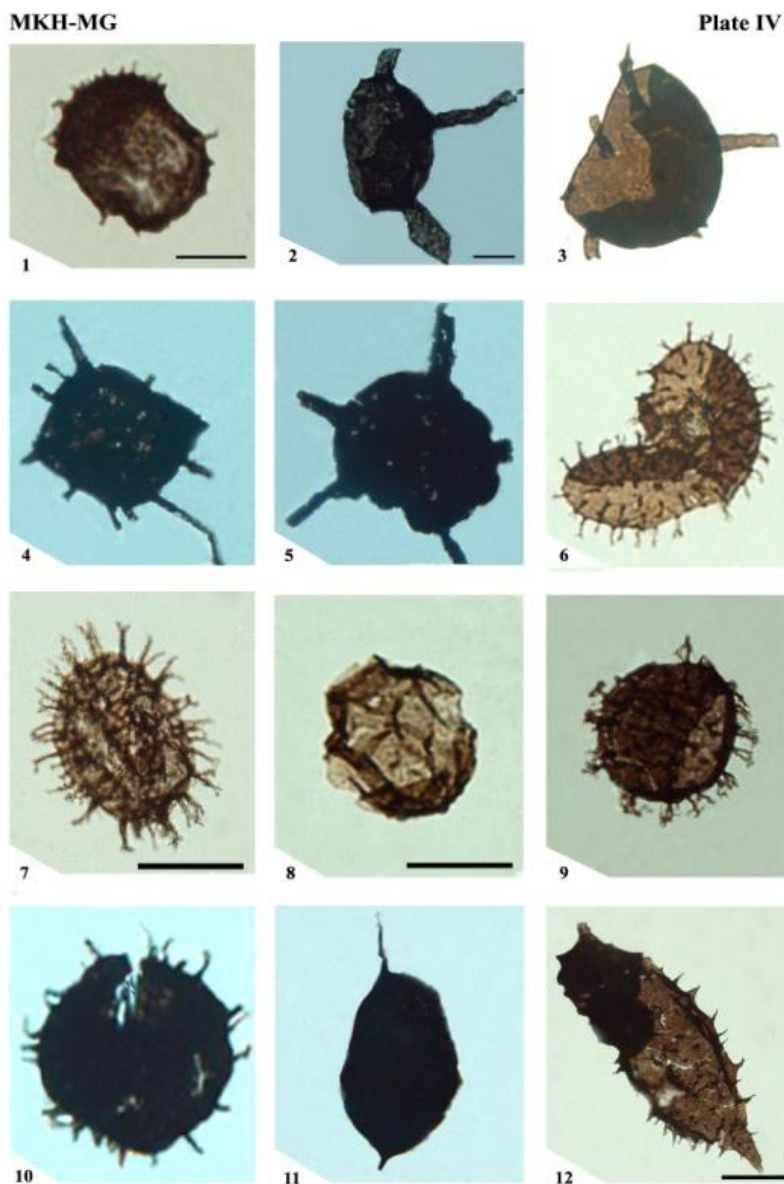
Fig. 8. *Cymatiogalea cuvillier* (Deunff), Cramer & Diez, 1973 (sample MKH-MG 33).

Fig. 9. *Cymatiogalea cylindrata* Rasul, 1974 (sample MKH-MG 35).

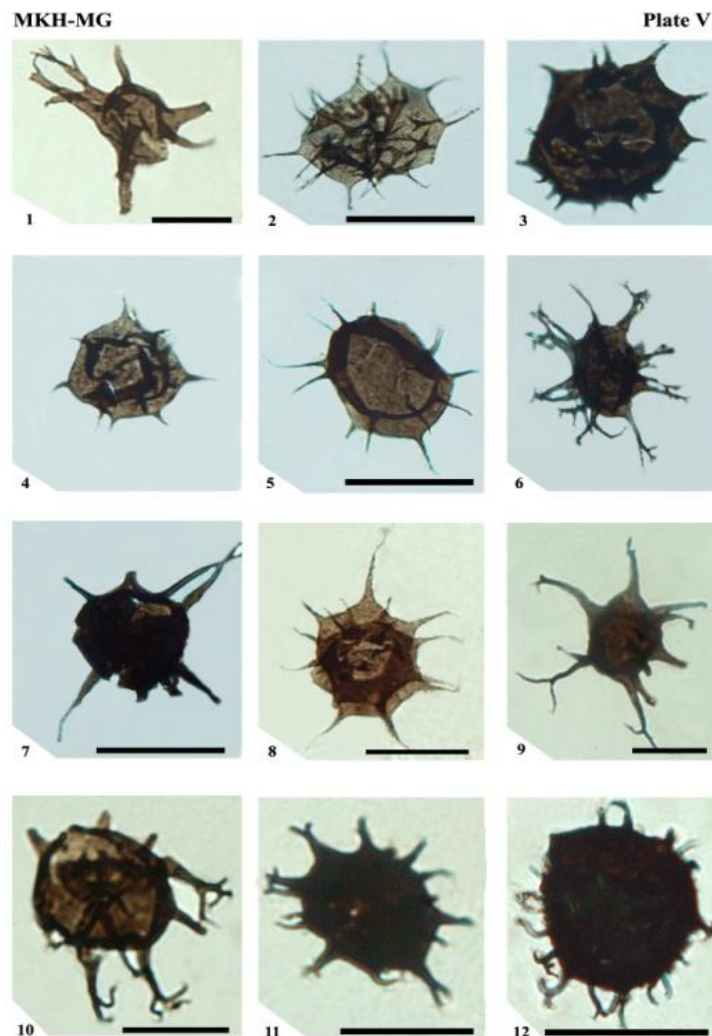
Fig. 10. *Cymatiogalea membranispina* Deunff, 1961 (sample MKH-MG 33).

Fig. 11. *Leiofusa fusiformis* (Eisenack) Eisenack, 1938 (sample MKH-MG 50)

Fig. 12. *Acanthodiacerodium spinum* Rasul, 1979 (sample MKH-MG 33).



- Fig. 1. *Arbusculidium* sp. (sample MKH-MG 35).  
 Fig. 2. *Baltisphaeridium perclarum* Loeblich & Tappan, 1978 (sample MKH-MG 86).  
 Fig. 3. *Baltisphaeridium perclarum* Loeblich & Tappan, 1978 (sample MKH-MG 50).  
 Fig. 4. *Orthosphaeridium insculptum* Loeblich 1970 (sample MKH-MG 84).  
 Fig. 5. *Baltisphaeridium perclarum* Loeblich & Tappan, 1978 (sample MKH-MG 88).  
 Fig. 6. *Cymatiogalea cristata* (Downie) Rasul, 1974 (sample MKH-MG 40).  
 Fig. 7. *Cymatiogalea granulata* (sample MKH-MG 43).  
 Fig. 8. *Cymatiogalea cuvillieri* (Deunff), Cramer & Diez, 1973 (sample MKH-MG 43).  
 Fig. 9. *Athabascaella playfordii* Martin, 1984 (sample MKH-MG 25).  
 Fig. 10. *Coryphidium bohemicum* Vavrdova, 1972 (sample MKH-MG 50).  
 Fig. 11. *Leiofusa* sp. (sample MKH-MG 50).  
 Fig. 12. *Dactylofusa spinata* Staplin, Jansonius & Pocock, 1965 (sample MKH-MG 50).



- Fig. 1. *Diexallophasis denticulata* (Stockmanns & Williere 1963), Loeblich 1970 (sample MKH-MG 50).
- Fig. 2. *Goniospharidium uncinatum* (Downie), Kjellstrom, 1971 (sample MKH-MG 33).
- Fig. 3. *Goniospharidium uncinatum* (Downie), Kjellstrom, 1971 (sample MKH-MG 33).
- Fig. 4. *Goniospharidium dentatum* Timofeev, 1959 (sample MKH-MG 42).
- Fig. 5. *Acanthodiacyclocium spinum* Rasul, 1979 (sample MKH-MG 25).
- Fig. 6. *Multiplicisphaeridium irregulare* Staplin, Jansonius & Pocock, 1965 (sample MKH-MG 56).
- Fig. 7. *Diexallophasis denticulata* (Stockmanns & Williere 1963), Loeblich 1970 (sample MKH-MG 86).
- Fig. 8. *Micrhystridium shinotonense* Downie, 1958 (sample MKH-MG 41).
- Fig. 9. *Multiplicisphaeridium bifurcatum* Staplin, Jansonius & Pocock, 1965 (sample MKH-MG 56).
- Fig. 10. *Multiplicisphaeridium irregulare* Staplin, Jansonius & Pocock, 1965 (sample MKH-MG 58).
- Fig. 11. *Multiplicisphaeridium bifurcatum* Staplin, Jansonius & Pocock, 1965 (sample MKH-MG 50).
- Fig. 12. *Cymatiogalea curtinulum* (sample MKH-MG 33).

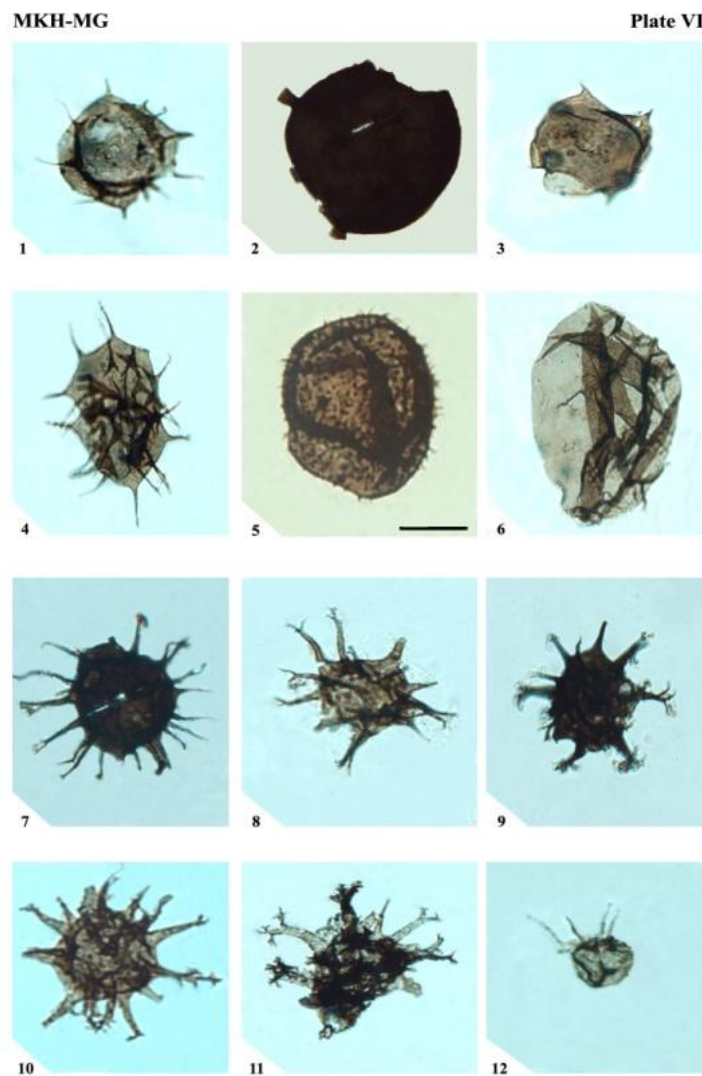


Fig. 1. *Acanthodiacrodium spinum* Rasul, 1979 (sample MKH-MG 33).

Fig. 2. *Orthosphaeridium* sp. (sample MKH-MG 60).

Fig. 3. *Goniosphaeridium sufflatum* Welsch, 1986 (sample MKH-MG 33).

Fig. 4. *Pirea laevigata* (sample MKH-MG 33).

Fig. 5. *Cymatiogalea cuvillieri* (Deunff), Cramer & Diez, 1973 (sample MKH-MG 25).

Fig. 6. *Saharidia fragilis* (Downie), Combaz, 1967 (sample MKH-MG 25).

Fig. 7. *Multiplicisphaeridium bifurcatum* Staplin, Jansonius & Pocock, 1965 (sample MKH-MG 86).

Fig. 8. *Multiplicisphaeridium bifurcatum* Staplin, Jansonius & Pocock, 1965 (sample MKH-MG 101).

Fig. 9. *Multiplicisphaeridium irregulare* Staplin, Jansonius & Pocock, 1965 (sample MKH-MG 92).

Fig. 10. *Multiplicisphaeridium irregulare* Staplin, Jansonius & Pocock, 1965 (sample MKH-MG 100).

Fig. 11. *Multiplicisphaeridium irregulare* Staplin, Jansonius & Pocock, 1965 (sample MKH-MG 100).

Fig. 12. *Ooidium* sp. (sample MKH-MG 40).

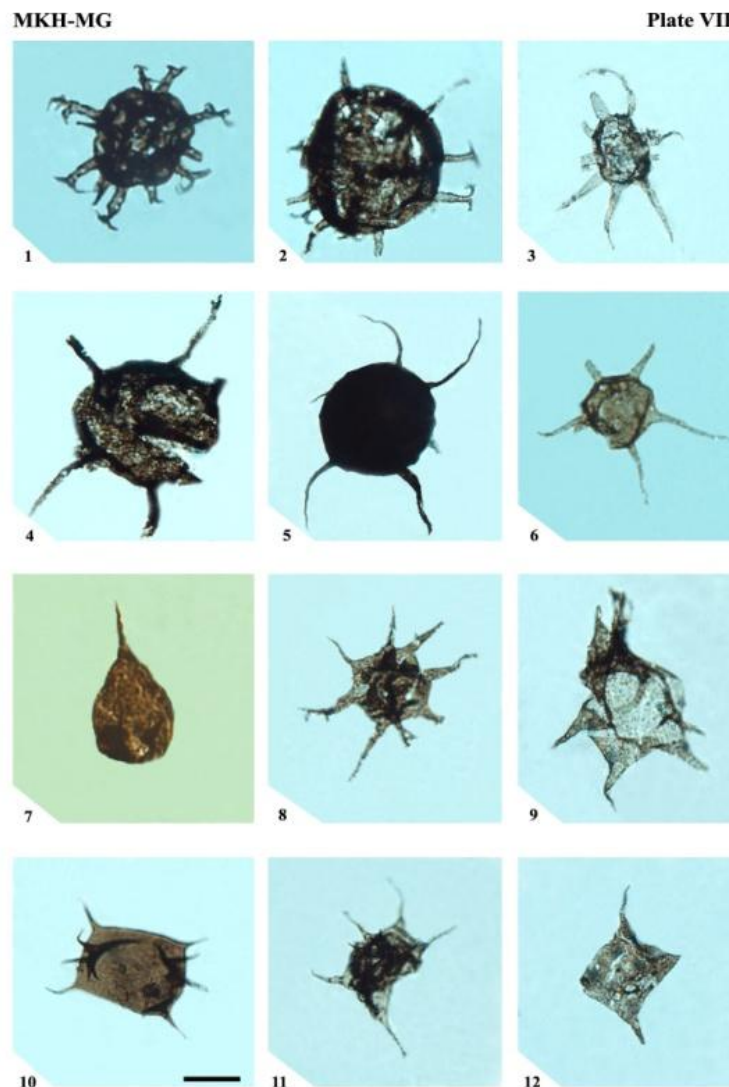


Fig. 1. *Ordovicidium elegantulum* Tappan & Loeblich, 1971 (sample MKH-MG 86).

Fig. 2. *Ordovicidium elegantulum* Tappan & Loeblich, 1971 (sample MKH-MG 86).

Fig. 3. *Diexaplophasis denticulata* (Stockmanns & Willière 1963), Loeblich 1970 (sample MKH-MG 95).

Fig. 4. *Orthosphaeridium inflatum* Loeblich, 1969 (sample MKH-MG 58).

Fig. 5. *Orthosphaeridium inflatum* Loeblich, 1969 (sample MKH-MG 82).

Fig. 6. *Diexaplophasis denticulata* (Stockmanns & Willière 1963), Loeblich 1970 (sample MKH-MG 96).

Fig. 7. *Pirea laevigata* (sample MKH-MG 50).

Fig. 8. *Polygonium* sp. (sample MKH-MG 50).

Fig. 9. *Polygonium* sp. (sample MKH-MG 50).

Fig. 10. *Priscotheca raia* Deunff, 1961 (sample MKH-MG 25).

Fig. 11. *Priscotheca tumida* Deunff, 1961 (sample MKH-MG 35).

Fig. 12. *Veryhachium lairdii* (Deflandre, 1946), Deunff, 1959 (sample MKH-MG 53).

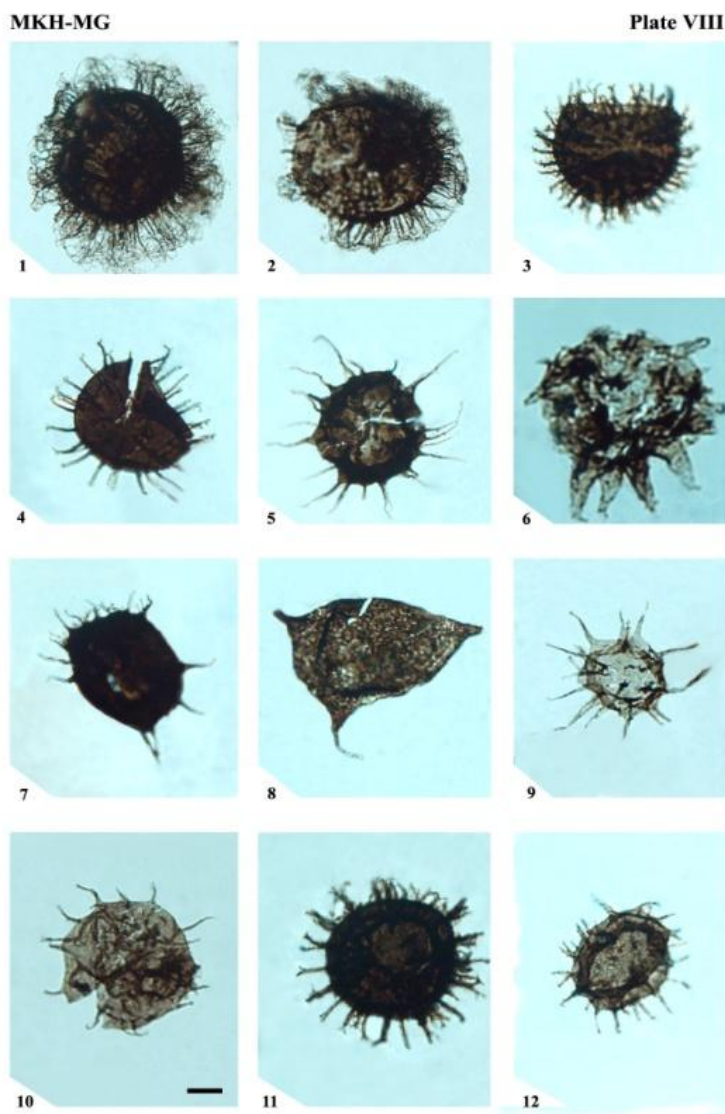


Fig. 1. *Athabascaella penika* Martin & Leiming, 1988 (sample MKH-MG 1).

Fig. 2. *Athabascaella penika* Martin & Leiming, 1988 (sample MKH-MG 3).

Fig. 3. *Stelliferidium cortinulum* (Deunff) Deunff et al. 1974 (sample MKH-MG 33).

Fig. 4. *Stelliferidium cortinulum* (Deunff) Deunff et al. 1974 (sample MKH-MG 33).

Fig. 5: *Acanthodiacerodium zonaconstrictum* Welsch, 1986 (sample MKH-MG 33).

Fig. 6. *Batisphaeridium* sp. (sample MKH-MG 100).

Fig. 7. *Arbusculidium filamentosum* Vavrdova, 1965 (sample MKH-MG 25).

Fig. 8. *Frankea* sp. (sample MKH-MG 50).

Fig. 9. *Michrystridium shinetonense* Downie, 1958. (sample MKH-MG 3)

Fig. 10. *Acanthodiacerodium spinum* Rasul, 1979 (sample MKH-MG 3).

Fig. 11. *Stelliferidium cortinulum* (Deunff) Deunff et al. 1974 (sample MKH-MG 33).

Fig. 12. *Vulcanisphaera britanica* Rasul, 1974 (sample MKH-MG 1).

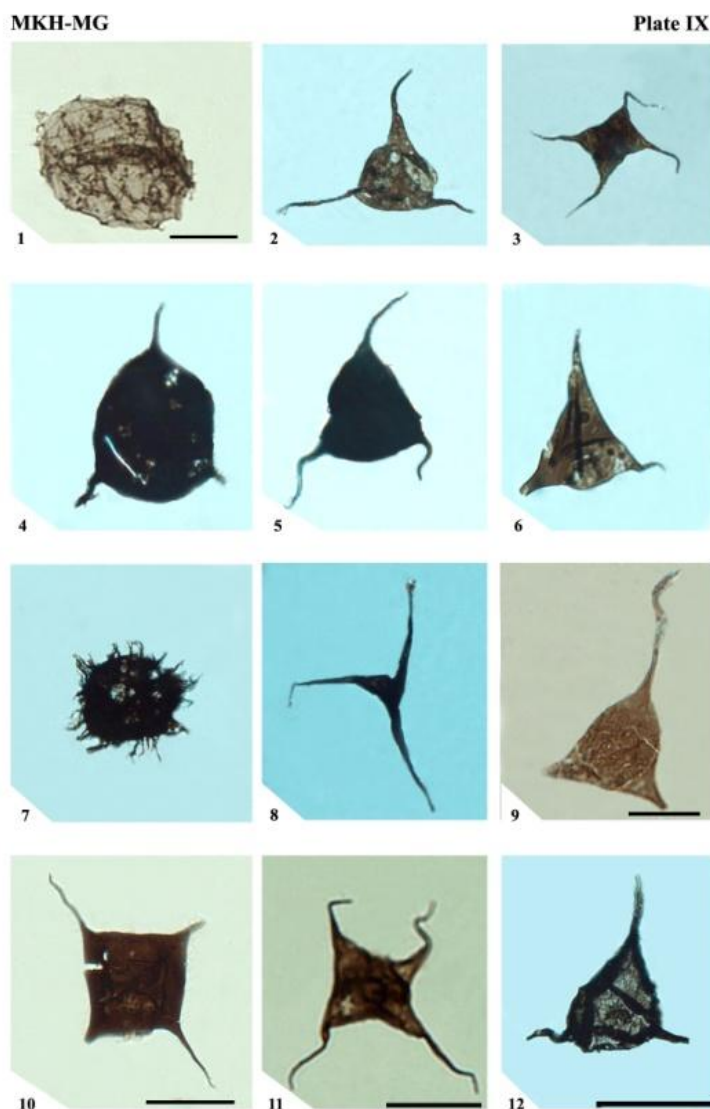


Fig. 1: *Vulcanisphaera* sp. (sample MKH-MG 30).

Fig. 2: *Villosacapsula setosapellicula* (Loeblich, 1970), Loeblich & Tappan 1976 (sample MKH-MG 51).

Fig. 3: *Veryhachium lairdii* (Deflandre, 1946), Deunff, 1959 (sample MKH-MG 74).

Fig. 4: *Veryhachium subglobosum* Jardiné, Combaz, Magloire, Peniguel & Vachey, 1974 (sample MKH-MG 62).

Fig. 5: *Veryhachium trispinosum* (Martin 1966), Cramer, 1968 (sample MKH-MG 100).

Fig. 6: *Veryhachium trispinosum* (Martin 1966), Cramer, 1968 (sample MKH-MG 50).

Fig. 7: *Vulcanisphaera africana* Deunff 1961 (sample MKH-MG 1).

Fig. 8: *Veryhachium triangulata* Konzalova-Mazankova, 1969 (sample MKH-MG 83).

Fig. 9: *Villosacapsula setosapellicula* (Loeblich 1970), Loeblich & Tappan 1976 (sample MKH-MG 57).

Fig. 10. *Veryhachium lairdii* (Deflandre 1946), Deunff, 1959 (sample MKH-MG 50).

Fig. 11. *Veryhachium lairdii* (Deflandre 1946), Deunff, 1959 (sample MKH-MG 50).

Fig. 12. *Veryhachium trispinosum* (Martin 1966), Cramer, 1968 (sample MKH-MG 56).

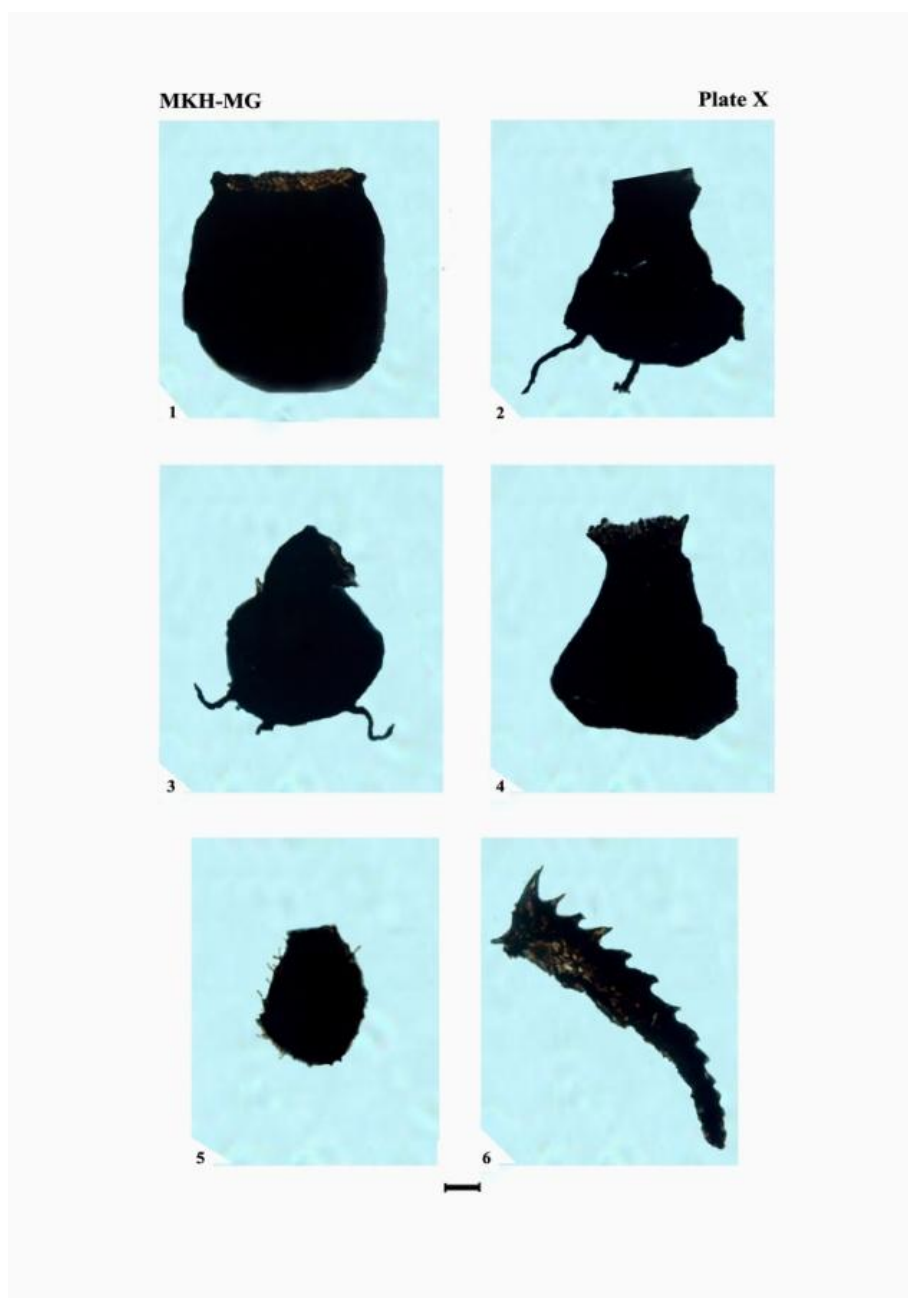


Fig. 1. *Desmochitina minor* Eisenack, 1931 (sample MKH-MG 100).

Fig. 2. *Ancyrochitina merga* Jenkins, 1970 (sample MKH-MG 101).

Fig. 3. *Ancyrochitina merga* Jenkins, 1970 (sample MKH-MG 100).

Fig. 4. *Ancyrochitina merga* Jenkins, 1970 (sample MKH-MG 101).

Fig. 5. *Kalochitina* sp. (sample MKH-MG 100).

Fig. 6. *Scolecodont* (sample MKH-MG 101).